

AOD - Laboratorium 4

Michał Waluś 279695

Styczeń 2026

1 Zadanie 1

Oznaczmy przez $c(e)$ pojemność krawędzi, a przez $f(e)$ przepływ przez nią.

Do rozwiązywania problemu używamy algorytmu Edmondsa-Karpa. Tworzy on dla grafu $G = (V, E)$ sieć rezydualną G_f , której wierzchołki są takie same jak w G , a dla każdej krawędzi (u, v) z G , zawiera (u, v) o pojemności $c_f((u, v)) = c((u, v)) - f((u, v))$, a także (v, u) o pojemności $f((u, v))$. Algorytm wykorzystuje przeszukiwanie wszerz (BFS) do znalezienia najkrótszej ścieżki p ze źródła s do ujścia t . Następnie wyznacza maksymalny przepływ $c_f(p)$ jaki może być na tej ścieżce i dla każdej krawędzi (u, v) będącej częścią ścieżki zwiększa $f((u, v))$ o $c_f(p)$, jeśli $(u, v) \in E$ albo zmniejsza $f((v, u))$. Pseudokod przedstawiony jako Algorithm 1.

Function Edmonds-Karp (G, s, t):

```
    for each edge  $(u, v) \in G.E$  do
        |  $(u, v).f \leftarrow 0;$ 
    end
    while there exists a path from  $s$  to  $t$  in residual network  $G_f$  do
        |  $p \leftarrow BFS(G_f, s, t);$ 
        |  $c_f(p) \leftarrow \min\{c_f(u, v) : (u, v) \in p\};$ 
        | for each edge  $(u, v)$  in  $p$  do
            |   if  $(u, v) \in E$  then
            |       |  $(u, v).f \leftarrow (u, v).f + c_f(p)$ 
            |   end
            |   else
            |       |  $(v, u).f \leftarrow (v, u).f + c_f(p)$ 
            |   end
        | end
    end
end
```

Algorithm 1: Algorytm Edmondsa-Karpa

1.1 Złożoność Algorytmu

Niech $n = 2^k = |V|$, ponieważ G to hiper kostka, to $|E| = nk$.

Złożoność czasowa przeszukiwania wszerz to $O(|V| + |E|) = O(nk)$.

Twierdzenie (*Cormen, Leiserson, Rivest, Stein - Introduction to Algorithms*)

Algorytm Edmondsa-Karpa wywołany dla sieci przepływu $G = (V, E)$ zwiększa przepływ

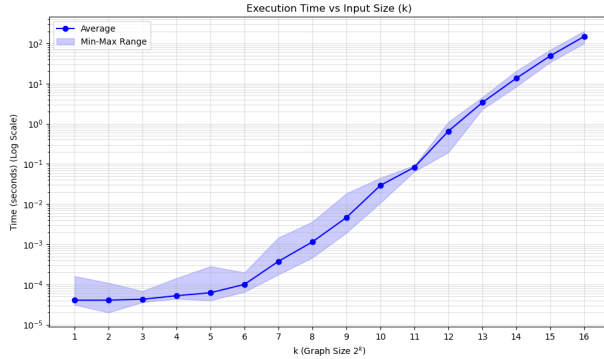
$O(|V||E|)$ razy.

Zatem dla naszego przypadku, przepływ może zostać zwiększyony maksymalnie $O(n^2k)$ razy, czyli złożoność czasowa całego algorytmu wynosi $O(n^3k^2) = O(2^{3k}k^2) = O(nm^2)$.

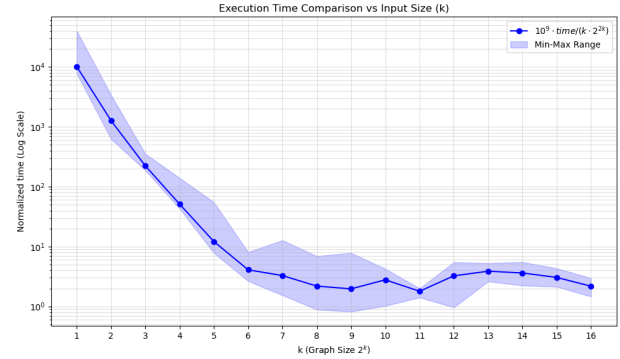
Ponieważ sieć residualna ma co najwyżej dwa razy tyle krawędzi co oryginalna, to złożoność pamięciowa algorytmu wynosi $O(nk)$.

1.2 Wyniki

Uzyskane wyniki (średnia ze 100 powtórzeń) zostały przedstawione na Rysunkach 1-3.

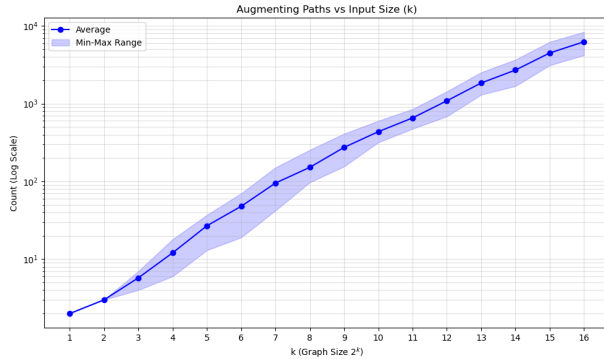


(a) Skala logarytmiczna

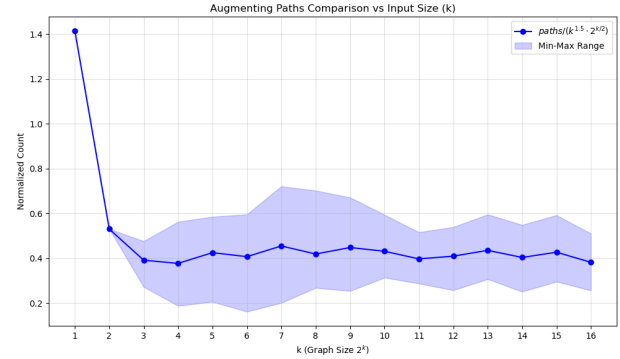


(b) $10^9 \cdot \text{Czas} / (k \cdot 2^k)$

Rysunek 1: Wyniki dla czasu



(a) Skala logarytmiczna



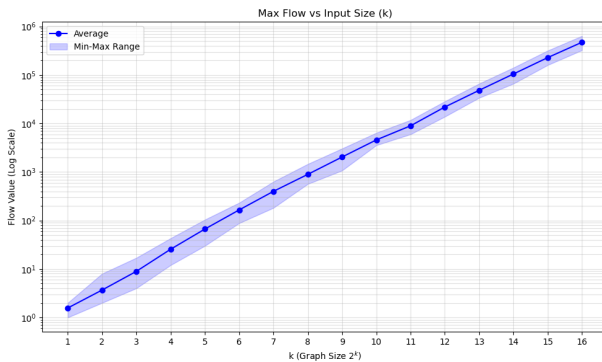
(b) Ścieżki / ($k^{1.5} \cdot 2^{k/2}$)

Rysunek 2: Wyniki dla ilości ścieżek

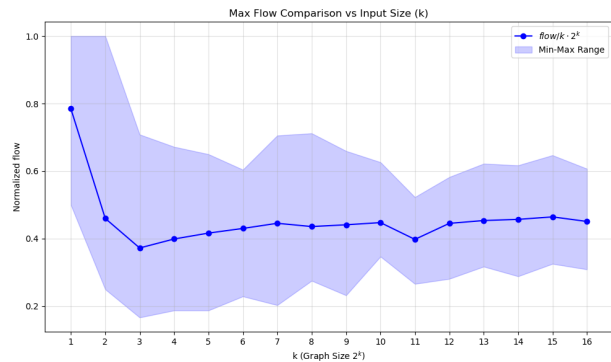
Na wykresach przedstawiono również znormalizowane wyniki, podzielone przez eksperymentalnie wyznaczoną funkcję. Widzimy, że czas wykonania rośnie wolniej niż $k \cdot 2^{2k}$, co jest znacznie wolniejszym tempem wzrostu niż to pesymistycznie obliczone podczas analizy algorytmu. Liczba ścieżek zwiększających zdaje się być zbliżona do pierwiastka z liczby krawędzi, a wartość maksymalnego przepływu zdaje się mieć takie samo tempo wzrostu jak liczba krawędzi.

2 Zadanie 2

Niech $G = (V_1 \cup V_2, E)$, $|V_1| = |V_2| = n = 2^k$, $V_1 = \{v_1, \dots, v_n\}$, $V_2 = \{v_{n+1}, \dots, v_{2n}\}$, $(\forall v \in V_1)(\exists w_1, \dots, w_i \in V_2)(v, w_1), \dots, (v, w_i) \in E$. Dla każdej krawędzi e ustalamy jej pojemność



(a) Skala logarytmiczna



(b) Przepływ $/(k \cdot 2^k)$

Rysunek 3: Wyniki dla maksymalnego przepływu

$c(e) = 1$. Dodatkowo dodajemy do grafu 2 wierzchołki v_0, v_{2n+1} , takie że

$$(\forall v \in V_1) ((v_0, v) \in E)$$

$$(\forall v \in V_2) ((v, v_{2n+1}) \in E)$$

Wszystkie o pojemności 1. W takim grafie maksymalny przepływ z v_0 do v_{2n+1} jest równoważny skojarzeniu o największym rozmiarze. Do wyznaczenia rozwiązania możemy znowu użyć algorytmu Edmonda-Karpa.

2.1 Złożoność Algorytmu

Złożoności pozostają niezmienione, czyli złożoność pamięciowa algorytmu wynosi $O(|E|) = (i \cdot 2^k)$, a czasowa $O(nm^2) = O(i^2 \cdot 2^{3k})$.

2.2 Wyniki

Czasy działania dla różnych i w zależności od k zostały przedstawione na rysunku 4, a na rysunku 5 wielkość maksymalnego skojarzenia w zależności od i .

Czas działania zwiększa się wraz ze wzrostem wartości i oraz k , wykres sugeruje wzrost wykładniczy względem k , czyli wielomianowy względem rozmiaru grafu.

Wraz ze wzrostem i , zwiększa się rozmiar skojarzenia o największym rozmiarze (przypomina on logarytmiczny), przy czym od $i = 6$ lub 7 , skojarzenia zawierają wszystkie wierzchołki w grafie i są maksymalne.

3 Zadanie 3

Modele programowania liniowego dla zadania pierwszego są w następującej formie:

- Parametry:

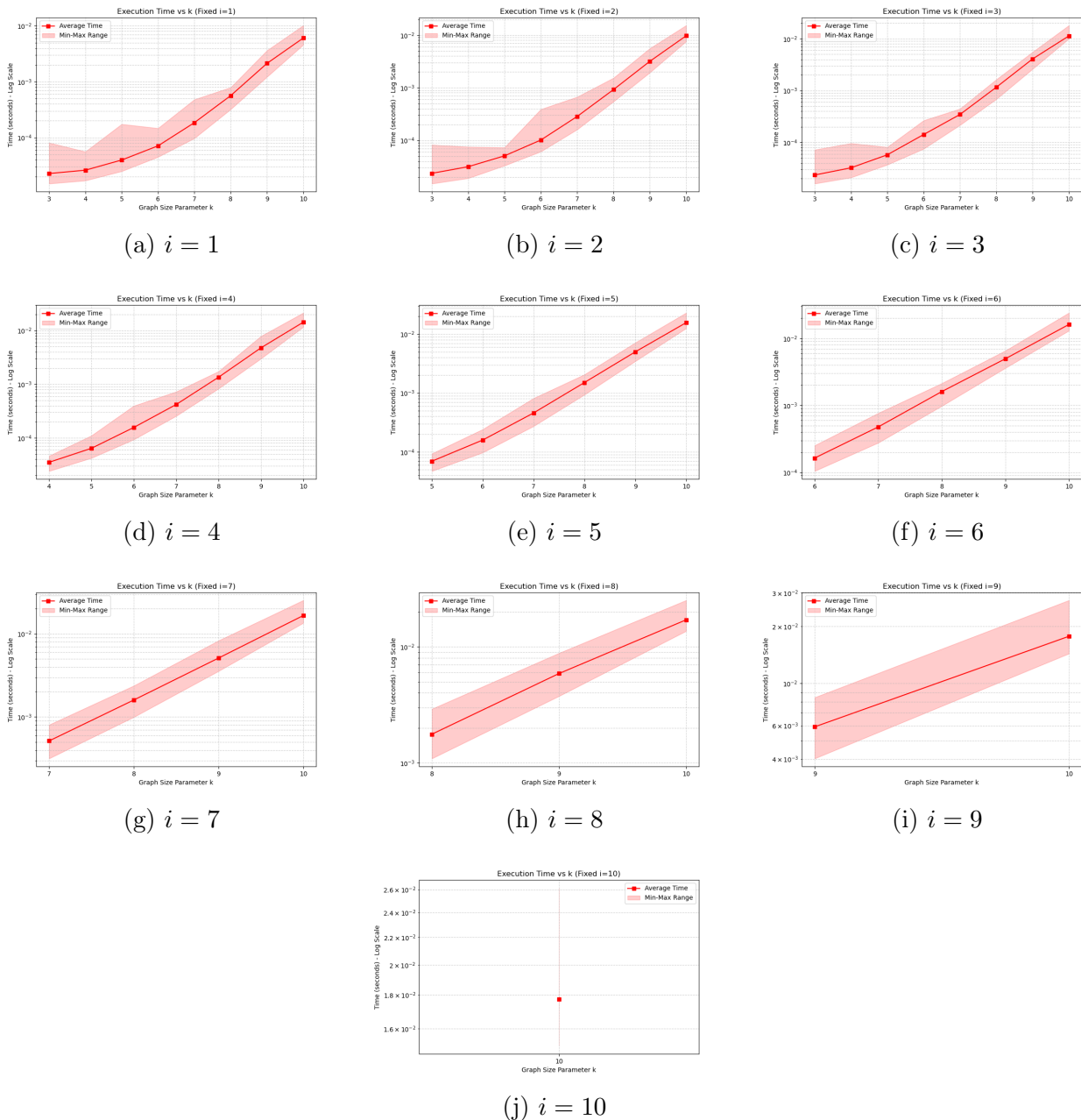
$$V, E \subseteq V \times V, (\forall e \in E) C(e) \geq 0, s, t \in V$$

- Zmienne decyzyjne:

$$(\forall e \in E) 0 \leq flow(e) \leq C(e)$$

- Ograniczenia:

$$(\forall u \in V \setminus \{s, t\}) \sum_{(u,v) \in E} flow((u, v)) = \sum_{(v,u) \in E} flow((v, u))$$



Rysunek 4: Czasy działań w zależności od k

- Funkcja celu:

$$\max \sum_{(s,v) \in E} \text{flow}((s,v))$$

Modele programowania liniowego dla zadania drugiego są w następującej formie:

- Parametry:

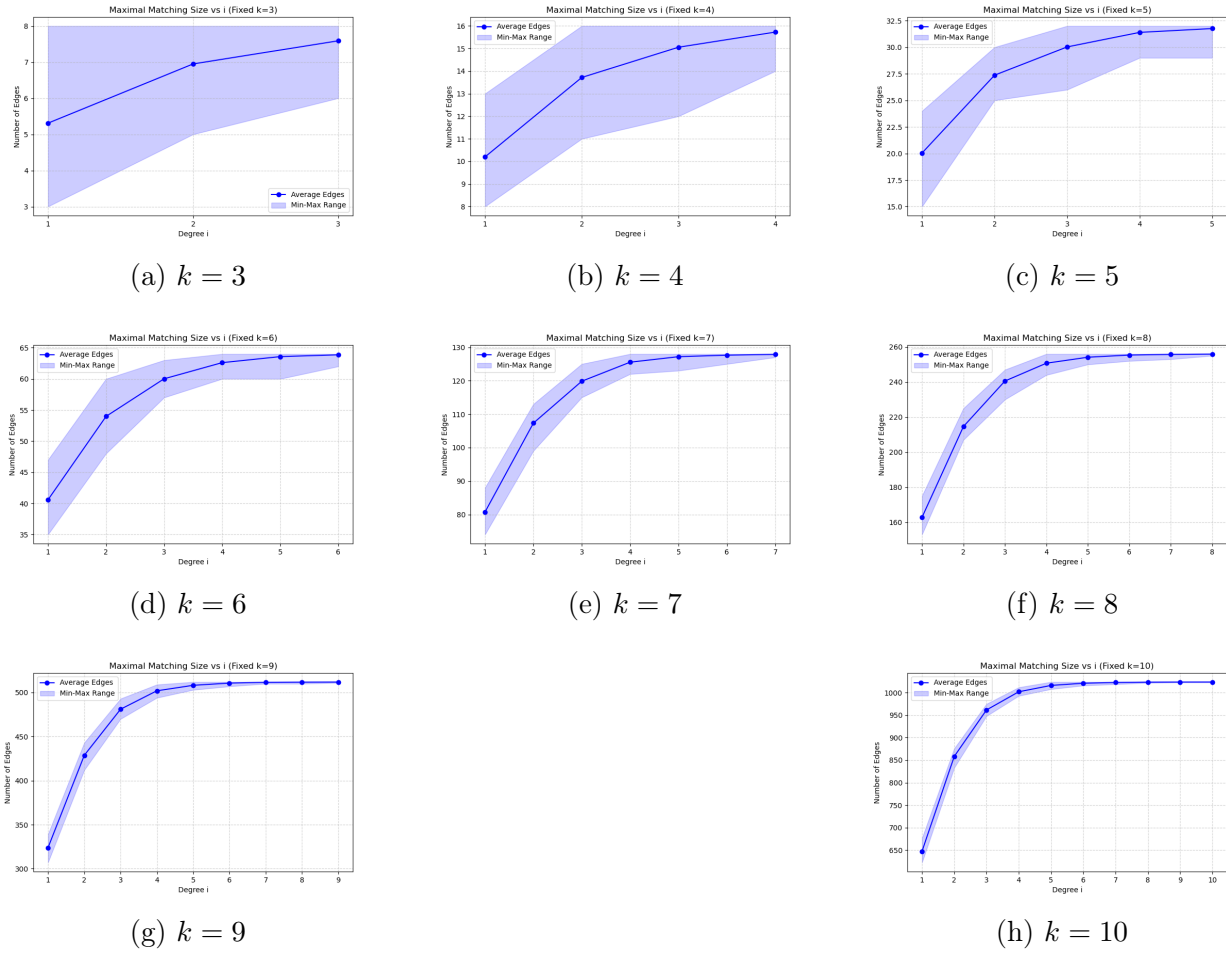
$$V, E \subseteq V \times V, s, t \in V$$

- Zmienne decyzyjne:

$$(\forall e \in E) 0 \leq \text{flow}(e) \leq 1$$

- Ograniczenia:

$$(\forall u \in V \setminus \{s, t\}) \sum_{(u,v) \in E} \text{flow}((u,v)) = \sum_{(v,u) \in E} \text{flow}((v,u))$$



Rysunek 5: Wielkość maksymalnego skojarzenia w zależności od i

- Funkcja celu:

$$\max \sum_{(s,v) \in E} \text{flow}((s,v))$$

3.1 Porównanie Czasu

Czasy działania przedstawione w tabelach 1 i 2.

k	Algorytm	GLPK
11	0.045248s	0.1s
12	0.090343s	0.4s
13	0.353865s	1.7s

Tabela 1: Algorytm z zadania 1 vs GLPK

Programy z zadań 1 i 2 obliczają szybciej niż solver GLPK.

4 Zadanie 4

Algorytm Dinica jest usprawnieniem metody Edmondsa-Karpa i również utrzymuje on sieć rezydualną G_f . Różnicą jest że algorytm działa w fazach i zamiast wyszukiwać pojedynczą ścieżkę, znajduje wszystkie ścieżki tej samej długości. W każdej fazie najpierw za pomocą przeszukiwania wszerz (BFS) konstruowana jest sieć warstwowa G_L . W sieci tej wierzchołki mają

k	Algorytm	GLPK
10	0.019349s	0.2s
11	0.070265s	0.7s
12	0.295123s	3.7s

Tabela 2: Algorytm z zadania 2 vs GLPK

przypisany poziom $level(v)$ równy odległości od źródła s w sieci rezydualnej, a krawędzie to tylko te łuki (u, v) z G_f , dla których $level(v) = level(u) + 1$.

W tak skonstruowanej sieci warstwowej szukamy przepływu blokującego przy użyciu przeszukiwania w głąb (DFS). Przepływ blokujący to taki przepływ, po którego nasyceniu nie istnieje już żadna ścieżka powiększająca w G_L , czyli wszystkie pozostałe ścieżki z s do t muszą być dłuższe. Algorytm powtarza te dwie fazy (budowa G_L i nasycanie), dopóki t jest osiągalne z s w sieci rezydualnej. Ponieważ DFS przechodzi po sąsiadach danego wierzchołka u w tej samej kolejności za każdym razem gdy go napotka, to zapamiętujemy, z których wierzchołków nie ma ścieżki do t (w grafie G_L). Pseudokod przedstawiony jako Algorithm 3.

4.1 Złożoność Algorytmu

Podobnie jak wcześniej niech $n = 2^k = |V|$ oraz $|E| = nk$.

Pojedyncza faza algorytmu Dinica składa się z wyznaczenia sieci warstwowej (BFS) w czasie $O(|E|)$ oraz znalezienia potoku blokującego (wielokrotny DFS). Dzięki technice usuwania nasyconych krawędzi (lub pamiętania wskaźnika na ostatnio odwiedzoną krawędź), znalezienie potoku blokującego zajmuje $O(|V||E|)$.

Lemat 3 z portalu Ważniak MIMUW

W algorytmie Dinica liczba faz wynosi co najwyżej $|V| - 1$, ponieważ w każdej kolejnej fazie odległość w sieci rezydualnej od źródła do ujścia ściśle rośnie.

Zatem ogólna złożoność algorytmu dla dowolnych pojemności wynosi $O(|V|^2|E|)$. Dla naszego przypadku hiper kostki, gdzie $|V| = n$ i $|E| = nk$, złożoność wynosi:

$$O(n^2 \cdot nk) = O(n^3k) = O(2^{3k}k)$$

Jest to wynik lepszy od algorytmu Edmondsa-Karpa o czynnik k (lub $O(n/m)$ w ogólnym przypadku grafów gęstych).

Złożoność pamięciowa pozostaje $O(nk)$, gdyż przechowujemy jedynie strukturę grafu, poziomy wierzchołków oraz wskaźniki dla procedury DFS.

4.2 Wyniki

Otrzymane wyniki są przedstawione na rysunku 6. Ścieżki zwiększające oraz maksymalny przepływ pozostają bez większych zmian w stosunku do algorytmu Edmondsa-Karpa, ale czas wykonania jest zdecydowanie szybszy, dla $k = 16$ algorytm wykonał się ponad 1000 razy szybciej.

5 Wnioski

Mimo tego, że problem maksymalnego przepływu jest bardzo ogólny (jedno zastosowanie znajdywania skojarzeń w Zadaniu 2), to istnieją dość proste i efektywne algorytmy rozwiązujące

```

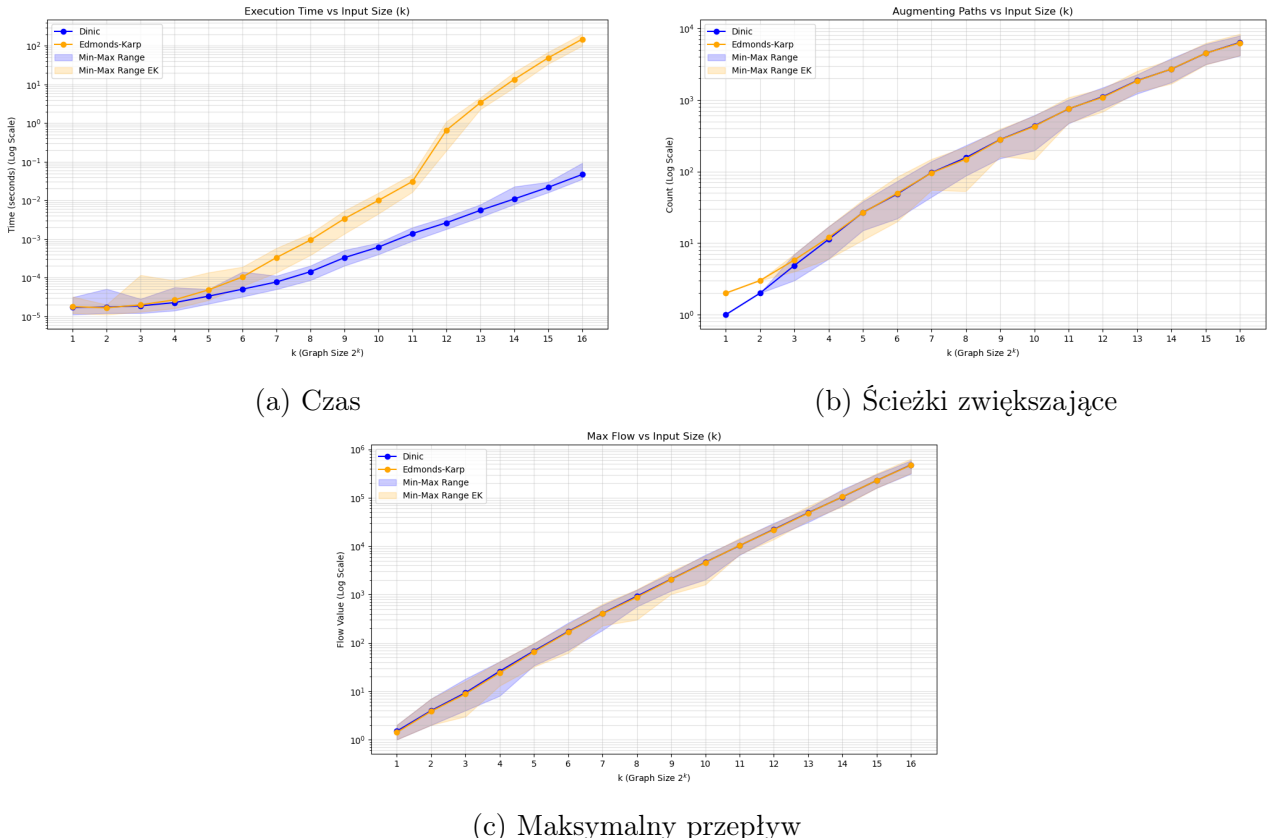
Function  $BFS(s, t)$ :
     $level$  // tablica długości n zawierająca same -1
     $level[s] \leftarrow 0$ ;
     $Q \leftarrow s$  // Kolejka
    while  $Q$  niepusta do
         $u \leftarrow Q.pop()$ ;
        for  $v \in N(u)$  do
            if  $level[v] = -1$  i  $C(u, v) - flow(u, v) > 0$  then
                 $level[v] \leftarrow level[u] + 1$ ;
                 $Q.push(v)$ ;
            end
        end
    end
    Return  $level[t] \neq -1$ 
end

Function  $Dinic(G, s, t)$ :
    for each edge  $(u, v) \in G.E$  do
         $(u, v).f \leftarrow 0$ ;
    end
    while  $BFS(G_f, s, t)$  znajduje ścieżkę do
        // Faza: Budowa sieci warstwowej i szukanie potoku blokującego
        while  $(p, flow) \leftarrow DFS(G_f, s, t, \infty)$  do
            for each edge  $(u, v)$  in  $p$  do
                if  $(u, v) \in E$  then
                     $(u, v).f \leftarrow (u, v).f + flow$ ;
                end
                else
                     $(v, u).f \leftarrow (v, u).f - flow$ ;
                end
            end
        end
    end
end

```

Algorithm 2: Algorytm Dinica

go w czasie wielomianowym. Przy dobrej implementacji, algorytm dla grafu jak w zadaniu 4, z ponad pół miliona wierzchołków wykonuje się w czasie poniżej 0.1s, czyli możliwe jest rozwiązanie bardzo dużych problemów nawet na zwykłych komputerach. Pokazuje to że nie wszystkie ogólne problemy muszą być skompilkowane i mieć rozwiązania w czasie wykładniczym.



Rysunek 6: Wyniki dla Algorytmu Dinica